

Projeto e Análise de Algoritmos

A. G. Silva

Baseado nos materiais de
Roman – USP
Souza, Silva, Lee, Rezende, Miyazawa – Unicamp
Monteforte – UFABC

18 de maio de 2018

Conteúdo programático

- Introdução (4 horas/aula)
- Notação Assintótica e Crescimento de Funções (4 horas/aula)
- Recorrências (4 horas/aula)
- Divisão e Conquista (12 horas/aula)
- Grafos (4 horas/aula)
- Buscas (4 horas/aula)
- Algoritmos Gulosos (8 horas aula)
- Programação Dinâmica (8 horas/aula)
- NP-Completo e Reduções (6 horas/aula)
- Algoritmos Aproximados e Busca Heurística (6 horas/aula)

Cronograma

- **02mar** – Apresentação da disciplina. Introdução.
- **09mar** – *Prova de proficiência/dispensa.*
- **16mar** – Notação assintótica. Recorrências.
- **23mar** – *Dia não letivo.* Exercícios.
- **30mar** – *Dia não letivo.* Exercícios.
- **06abr** – Recorrências. Divisão e conquista.
- **13abr** – Divisão e conquista. Ordenação.
- **20abr** – Ordenação. Estatística de ordem.
- **27abr** – **Primeira avaliação.**
- **04mai** – Estatística de ordem. Grafos. Buscas.
- **11mai** – Buscas. Algoritmos gulosos.
- **18mai** – Algoritmos gulosos.
- **25mai** – Programação dinâmica.
- **01jun** – *Dia não letivo.* Exercícios.
- **08jun** – *Semana Acadêmica.* Exercícios.
- **15jun** – Programação dinâmica. NP-Completeness e reduções.
- **22jun** – Exercícios (*copa*).
- **29jun** – **Segunda avaliação.**
- **06jul** – **Avaliação substitutiva** (*opcional*).

Algoritmos gulosos: conceitos básicos

- São aqueles que, a cada decisão:
 - Sempre escolhem a alternativa que parece mais promissora naquele instante: critério guloso – **decisão localmente ótima!**
 - Nunca reconsideram essa decisão
 - Uma escolha que foi feita nunca é revista
 - Não há *backtracking*

Árvore Geradora Mínima - Algoritmo de Prim (revisão)

Árvore Geradora Mínima

Problema da Árvore Geradora Mínima

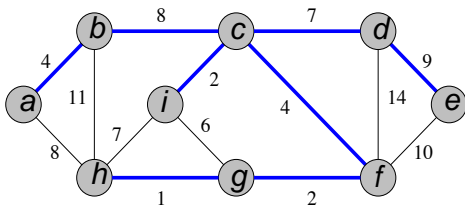
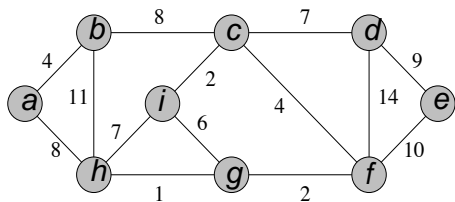
Entrada: grafo conexo $G = (V, E)$ com pesos $w(u, v)$ para cada aresta (u, v) .

Saída: subgrafo gerador conexo T de G cujo peso total

$$w(T) = \sum_{(u,v) \in T} w(u, v)$$

seja o menor possível.

Exemplo



Árvore Geradora Mínima

- Veremos dois algoritmos para resolver o problema:
 - algoritmo de Prim
 - algoritmo de Kruskal
- Ambos algoritmos usam **estratégia gulosa**. Eles são exemplos clássicos de algoritmos gulosos.

O algoritmo de Prim

AGM-PRIM(G, w, r)

```
1  para cada  $u \in V[G]$ 
2      faça  $key[u] \leftarrow \infty$ 
3           $\pi[u] \leftarrow \text{NIL}$ 
4   $key[r] \leftarrow 0$ 
5   $Q \leftarrow V[G]$ 
6  enquanto  $Q \neq \emptyset$  faça
7       $u \leftarrow \text{EXTRACT-MIN}(Q)$ 
8      para cada  $v \in \text{Adj}[u]$ 
9          se  $v \in Q$  e  $w(u, v) < key[v]$ 
10         então  $\pi[v] \leftarrow u$ 
11              $key[v] \leftarrow w(u, v)$ 
```

Complexidade do algoritmo de Prim

Obviamente, a complexidade de **AGM-PRIM** depende de como a fila de prioridade Q é implementada. Vejamos o que acontece se Q for um **min-heap**.

- As linhas 1–5 podem ser executadas em tempo $O(V)$ usando **BUILD-MIN-HEAP**.
- O laço da linha 6 é executado $|V|$ vezes e cada operação **EXTRACT-MIN** consome tempo $O(\lg V)$, resultando em um tempo total $O(V \lg V)$ para todas as chamadas de **EXTRACT-MIN**.
- O laço das linhas 8–11 é executado $O(E)$ vezes no total. O teste de pertinência de na fila Q pode ser feito em tempo constante usando um **vetor de bits (booleano)**. Ao atualizar a chave de um vértice, na linha 11, é feita uma chamada implícita a **DECREASE-KEY** que consome tempo $O(\lg V)$.
- O tempo total é $O(V \lg V + E \lg V) = O(E \lg V)$.

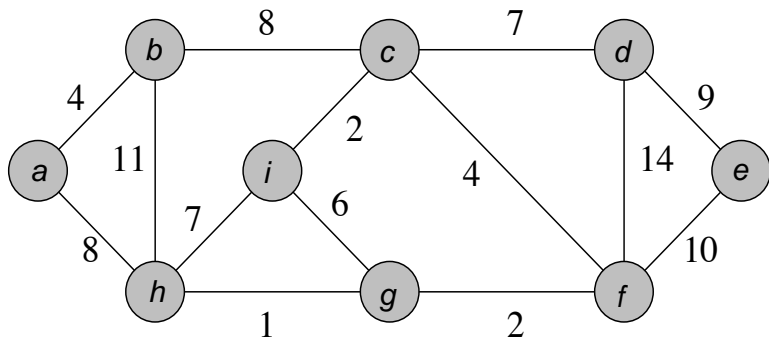
Árvore Geradora Mínima - Algoritmo de Kruskal

O algoritmo de Kruskal

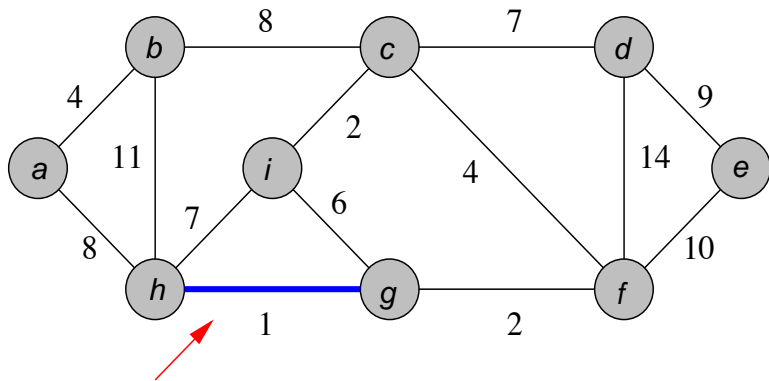
- No algoritmo de Kruskal o subgrafo $F = (V, A)$ é uma floresta. Inicialmente, A é vazio.
- Em cada iteração, o algoritmo escolhe uma aresta (u, v) de menor peso que liga vértices de componentes (árvores) distintos C e C' de $F = (V, A)$.
Note que (u, v) é uma aresta leve do corte $\delta(C)$.
- Ele acrescenta (u, v) ao conjunto A e começa outra iteração até que A seja uma árvore geradora.

Um detalhe de implementação importante é como encontrar a aresta de menor peso ligando componentes distintos.

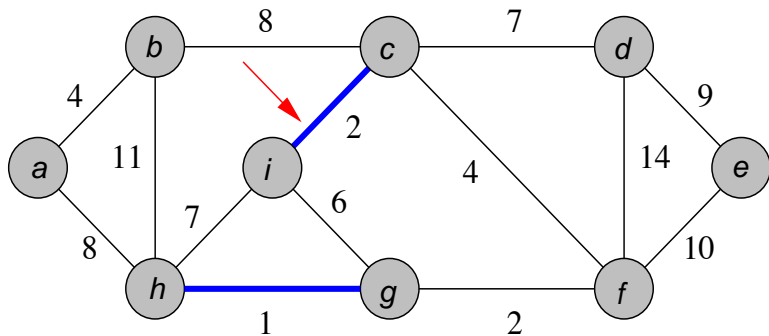
O algoritmo de Kruskal



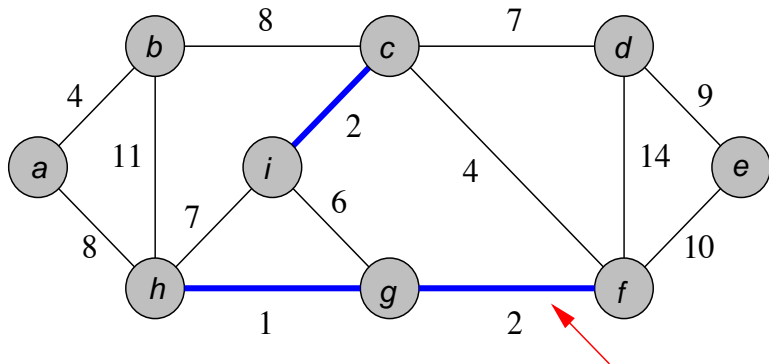
O algoritmo de Kruskal



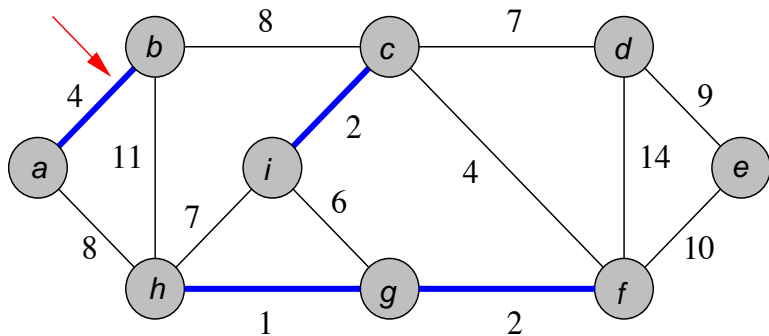
O algoritmo de Kruskal



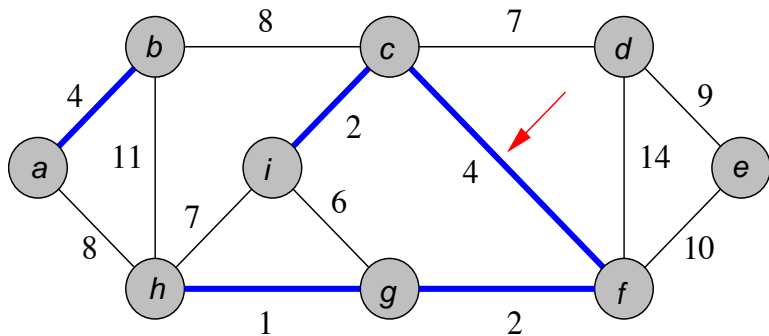
O algoritmo de Kruskal



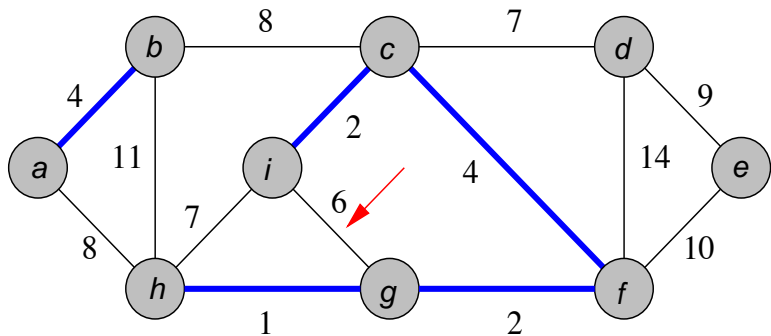
O algoritmo de Kruskal



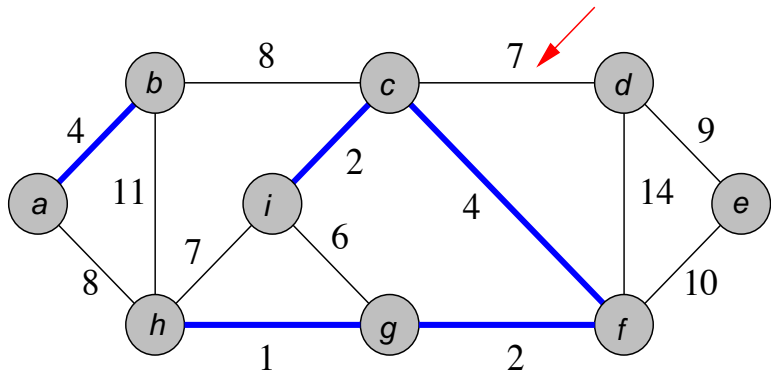
O algoritmo de Kruskal



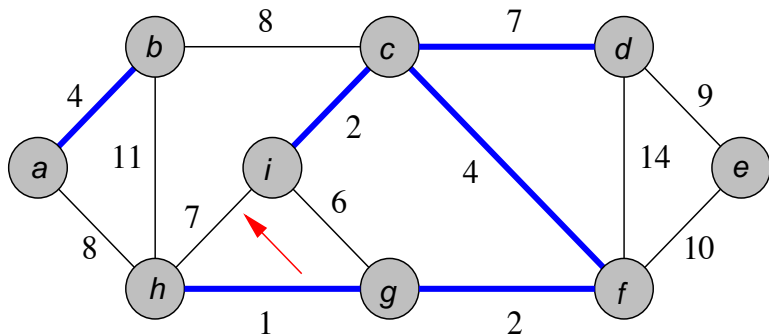
O algoritmo de Kruskal



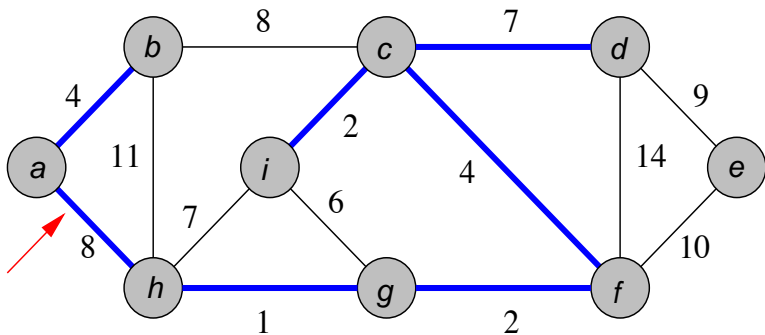
O algoritmo de Kruskal



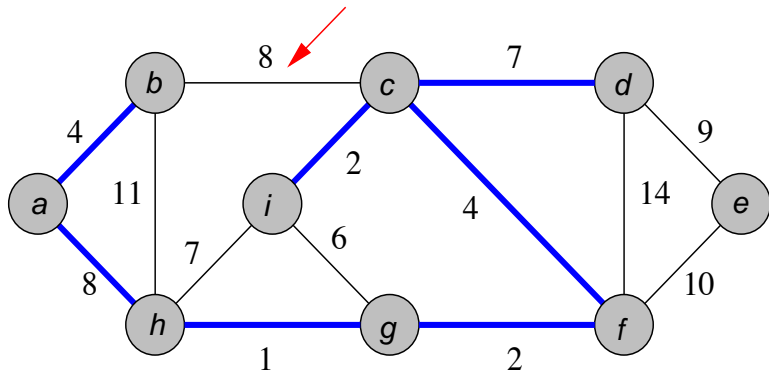
O algoritmo de Kruskal



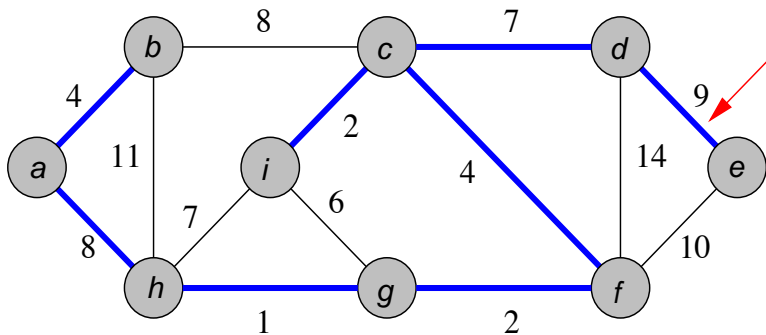
O algoritmo de Kruskal



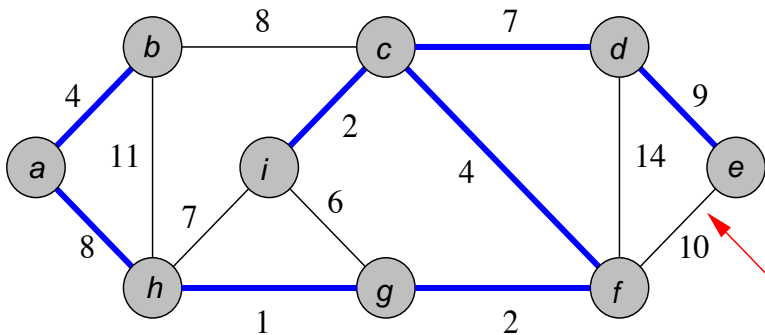
O algoritmo de Kruskal



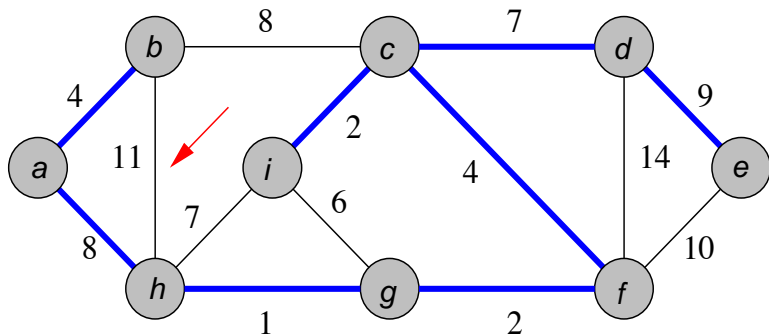
O algoritmo de Kruskal



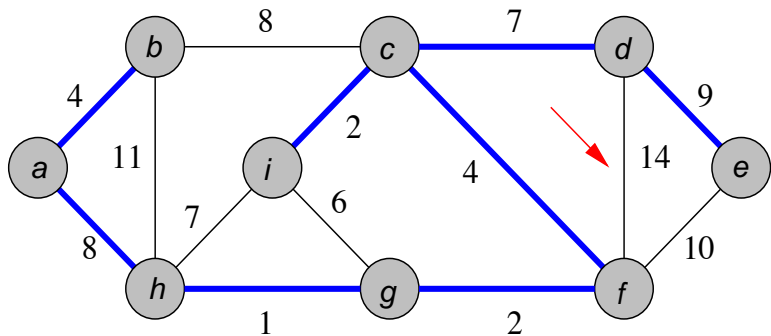
O algoritmo de Kruskal



O algoritmo de Kruskal



O algoritmo de Kruskal



O algoritmo de Kruskal

Eis uma versão do algoritmo de Kruskal.

AGM-KRUSKAL(G, w)

- 1 $A \leftarrow \emptyset$
- 2 Ordene as arestas em ordem não-decrescente de peso
- 3 **para cada** $(u, v) \in E$ nessa ordem **faça**
- 4 **se** u e v estão em componentes distintos de (V, A)
- 5 **então** $A \leftarrow A \cup \{(u, v)\}$
- 6 **devolva** A

Problema: Como verificar eficientemente se u e v estão no mesmo componente da floresta $G_A = (V, A)$?

O algoritmo de Kruskal

Inicialmente $G_A = (V, \emptyset)$, ou seja, G_A corresponde à floresta onde cada componente é um vértice isolado.

Ao longo do algoritmo, esses componentes são modificados pela inclusão de arestas em A .

Uma estrutura de dados para representar $G_A = (V, A)$ deve ser capaz de executar eficientemente as seguintes operações:

- Dado um vértice u , **determinar** o componente de G_A que contém u e
- dados dois vértices u e v em componentes distintos C e C' , fazer a **união** desses em um novo componente.

ED para conjuntos disjuntos

- Uma **estrutura de dados para conjuntos disjuntos** mantém uma coleção $\{S_1, S_2, \dots, S_k\}$ de **conjuntos disjuntos dinâmicos** (isto é, eles mudam ao longo do tempo).
- Cada conjunto é identificado por um **representante** que é um elemento do conjunto.

Quem é o representante é irrelevante, mas se o conjunto não for modificado, então o representante não pode mudar.

ED para conjuntos disjuntos

Uma **estrutura de dados para conjuntos disjuntos** deve ser capaz de executar as seguintes operações:

- **MAKE-SET**(x): cria um novo conjunto $\{x\}$.
- **UNION**(x, y): une os conjuntos (disjuntos) que contém x e y , digamos S_x e S_y , em um novo conjunto $S_x \cup S_y$.
Os conjuntos S_x e S_y são descartados da coleção.
- **FIND-SET**(x) devolve um **apontador** para o representante do (único) conjunto que contém x .

Componentes conexos

CONNECTED-COMPONENTS(G)

- 1 **para cada** vértice $v \in V[G]$ **faça**
- 2 **MAKE-SET**(v)
- 3 **para cada** aresta $(u, v) \in E[G]$ **faça**
- 4 **se** **FIND-SET**(u) \neq **FIND-SET**(v)
- 5 **então** **UNION**(u, v)

SAME-COMPONENT(u, v)

- 1 **se** **FIND-SET**(u) = **FIND-SET**(v)
- 2 **então devolva** SIM
- 3 **senão devolva** NÃO

“Complexidade” de CONNECTED-COMPONENTS

- $|V|$ chamadas a MAKE-SET
- $2|E|$ chamadas a FIND-SET
- $\leq |V| - 1$ chamadas a UNION

O algoritmo de Kruskal

Eis a versão completa!

AGM-KRUSKAL(G, w)

- 1 $A \leftarrow \emptyset$
- 2 **para cada** $v \in V[G]$ **faça**
- 3 **MAKE-SET**(v)
- 4 Ordene as arestas em ordem não-decrescente de peso
- 5 **para cada** $(u, v) \in E$ nessa ordem **faça**
- 6 **se** **FIND-SET**(u) \neq **FIND-SET**(v)
- 7 **então** $A \leftarrow A \cup \{(u, v)\}$
- 8 **UNION**(u, v)
- 9 **devolva** A

“Complexidade” de AGM-KRUSKAL

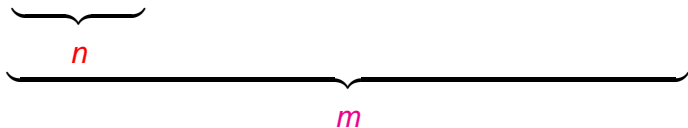
- Ordenação: $O(E \lg E)$
- $|V|$ chamadas a MAKE-SET
- $2|E|$ chamadas a FIND-SET
- $\leq |V| - 1$ chamadas a UNION

A complexidade depende de como essas operações são implementadas.

ED para conjuntos disjuntos

Seqüência de operações MAKE-SET, UNION e FIND-SET

M M M U F U U F U F F F U F

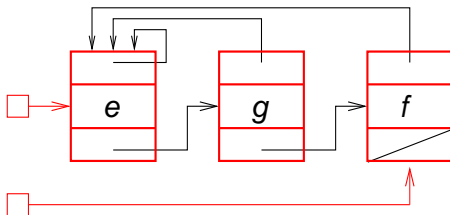
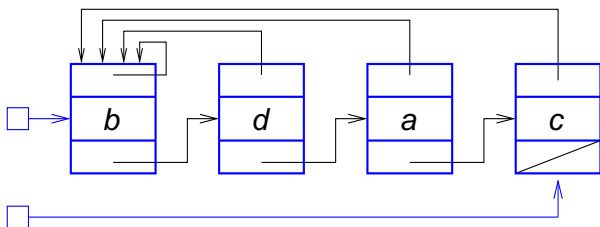


Vamos medir a complexidade das operações em termos de n e m .

Que estrutura de dados usar?

Ou seja, como representar os conjuntos?

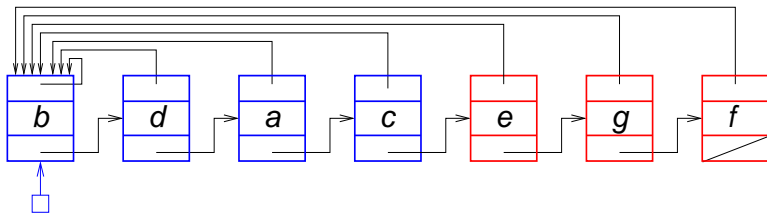
Representação por listas ligadas



- Cada conjunto tem um representante (início da lista)
- Cada nó tem um campo que aponta para o representante
- Guarda-se um apontador para o fim da lista

Representação por listas ligadas

- **MAKE-SET**(x) – $O(1)$
- **FIND-SET**(x) – $O(1)$
- **UNION**(x, y) – concatena a lista de x no final da lista de y



$O(n)$ no pior caso

É preciso atualizar os apontadores para o representante.

Um exemplo de pior caso

Operação	Número de atualizações
MAKE-SET(x_1)	1
MAKE-SET(x_2)	1
\vdots	\vdots
MAKE-SET(x_n)	1
UNION(x_1, x_2)	1
UNION(x_2, x_3)	2
UNION(x_3, x_4)	3
\vdots	\vdots
UNION(x_{n-1}, x_n)	n-1

Número total de operações: $2n - 1$

Custo total: $\Theta(n^2)$

Custo amortizado de cada operação: $O(n)$

Uma heurística **muito** simples

No exemplo anterior, cada chamada de **UNION** requer em média tempo $\Theta(n)$ pois concatenamos a maior lista no final da menor.

Uma idéia simples para evitar esta situação é sempre **concatenar a menor lista no final da maior** (*weighted-union heuristic*.)

Para implementar isto basta guardar o tamanho de cada lista.

Uma única execução de **UNION** pode gastar tempo $O(n)$, mas na média o tempo é bem menor (próximo slide).

Uma heurística **muito** simples

Teorema. Usando a representação por listas ligadas e *weighted-union heuristic*, uma seqüência de m operações MAKE-SET, UNION e FIND-SET gasta tempo $O(m + n \lg n)$.

Prova.

O tempo total em chamadas a MAKE-SET e FIND-SET é $O(m)$.

Sempre que o apontador para o representante de um elemento x é atualizado, o tamanho da lista que contém x (pelo menos) dobra.

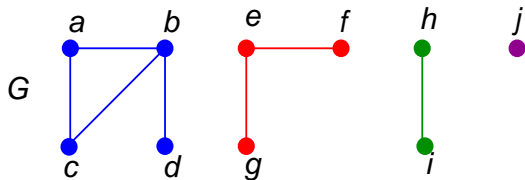
Após ser atualizado $\lceil \lg k \rceil$ vezes, a lista tem tamanho pelo menos k . Como k tem que ser menor que n , cada apontador é atualizado no máximo $O(\lg n)$ vezes.

Assim, o tempo total em chamadas a UNION é $O(n \lg n)$.

Representação por *disjoint-set forests*

- Veremos agora a representação por *disjoint-set forests*.
- Implementações ingênuas não são assintoticamente melhores do que a representação por listas ligadas.
- Usando duas heurísticas — **union by rank** e **path compression** — obtemos a representação por *disjoint-set forests* mais eficiente conhecida.

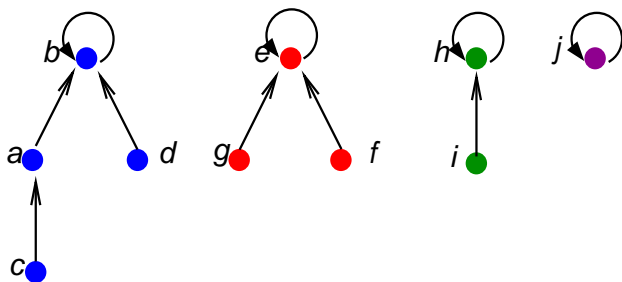
Representação por *disjoint-set forests*



Grafo com vários componentes.

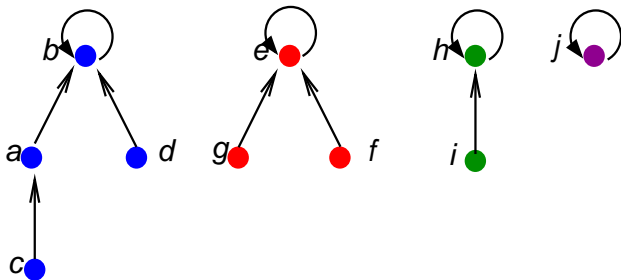
Como é a representação dos componentes na estrutura de dados *disjoint-set forests*?

Representação por *disjoint-set forests*



- Cada conjunto corresponde a uma **árvore enraizada**.
- Cada elemento aponta para seu **pai**.
- A **raiz** é o **representante** do conjunto e aponta para si mesma.

Representação por *disjoint-set forests*



MAKE-SET(x)

1 $\text{pai}[x] \leftarrow x$

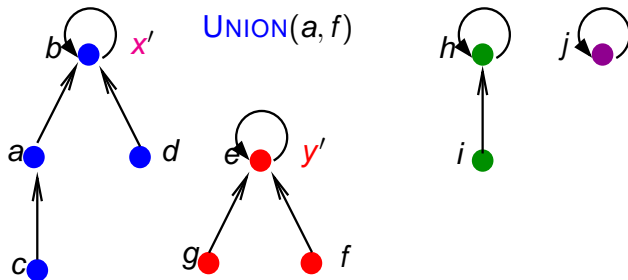
FIND-SET(x)

1 **se** $x = \text{pai}[x]$

2 **então devolva** x

3 **senão devolva** **FIND-SET**($\text{pai}[x]$)

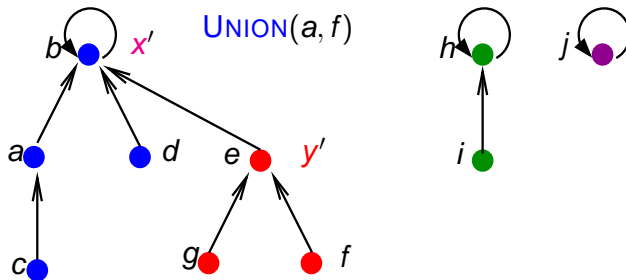
Representação por *disjoint-set forests*



$\text{UNION}(x, y)$

- 1 $x' \leftarrow \text{FIND-SET}(x)$
- 2 $y' \leftarrow \text{FIND-SET}(y)$
- 3 $\text{pai}[y'] \leftarrow x'$

Representação por *disjoint-set forests*



$\text{UNION}(x, y)$

- 1 $x' \leftarrow \text{FIND-SET}(x)$
- 2 $y' \leftarrow \text{FIND-SET}(y)$
- 3 $\text{pai}[y'] \leftarrow x'$

Representação por *disjoint-set forests*

Com a implementação descrita até agora, **não** há **melhoria assintótica** em relação à representação por listas ligadas.

É fácil descrever uma seqüência de $n - 1$ chamadas a **UNION** que resultam em uma cadeia linear com n nós.

Pode-se melhorar (muito) isso usando duas heurísticas:

- union by rank
- path compression

Union by rank

- A idéia é emprestada do **weighted-union heuristic**.
- Cada nó x possui um “posto” $\text{rank}[x]$ que é um limitante superior para a altura de x .
- Em **union by rank** a raiz com menor rank aponta para a raiz com maior rank .

Union by rank

MAKE-SET(x)

- 1 $\text{pai}[x] \leftarrow x$
- 2 $\text{rank}[x] \leftarrow 0$

UNION(x, y)

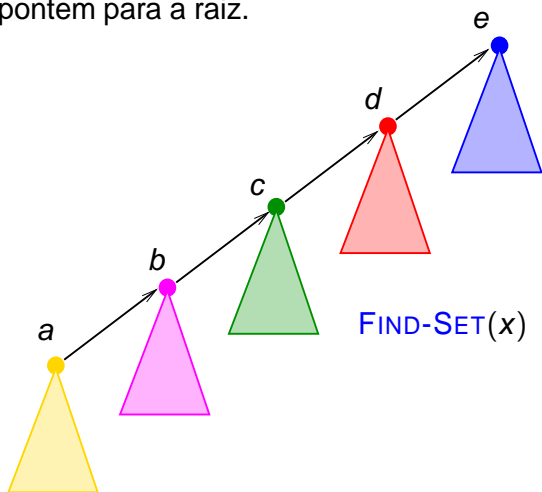
- 1 **LINK**(**FIND-SET**(x), **FIND-SET**(y))

LINK(x, y) $\triangleright x$ e y são raízes

- 1 **se** $\text{rank}[x] > \text{rank}[y]$
- 2 **então** $\text{pai}[y] \leftarrow x$
- 3 **senão** $\text{pai}[x] \leftarrow y$
- 4 **se** $\text{rank}[x] = \text{rank}[y]$
- 5 **então** $\text{rank}[y] \leftarrow \text{rank}[y] + 1$

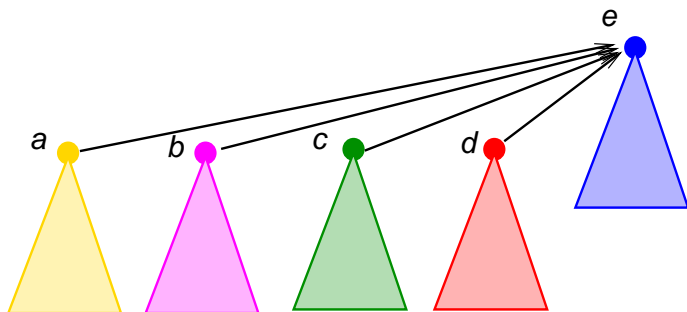
Path compression

A idéia é muito simples: ao tentar determinar o representante (raiz da árvore) de um nó fazemos com que todos os nós no caminho apontem para a raiz.



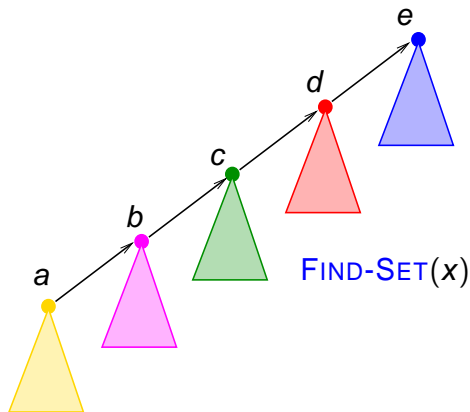
Path compression

A idéia é muito simples: ao tentar determinar o representante (**raiz** da árvore) de um nó fazemos com que todos os nós no caminho apontem para a raiz.



FIND-SET(x)

Path compression



$\text{FIND-SET}(x)$

- 1 **se** $x \neq \text{pai}[x]$
- 2 **então** $\text{pai}[x] \leftarrow \text{FIND-SET}(\text{pai}[x])$
- 3 **devolva** $\text{pai}[x]$

Análise de union by rank com path compression

Vamos descrever (sem provar) a complexidade de uma seqüência de operações **MAKE-SET**, **UNION** e **FIND-SET** quando **union by rank** e **path compression** são usados.

Para $k \geq 0$ e $j \geq 1$ considere a função

$$A_k(j) = \begin{cases} j + 1 & \text{se } k = 0, \\ A_{k-1}^{(j+1)}(j) & \text{se } k \geq 1, \end{cases}$$

onde $A_{k-1}^{(j+1)}(j)$ significa que $A_{k-1}(j)$ foi iterada $j + 1$ vezes.

Função $A_k(j)$

- $A_{k-1}^{(j+1)}(j)$ utiliza notação de iteração funcional. O parâmetro k é o nível da função.
- Especificamente:

$$A_{k-1}^{(0)}(j) = j$$

$$A_{k-1}^i(j) = A_{k-1}(A_{k-1}^{(i-1)}(j)) \quad \text{para } i \geq 1$$

- Exemplificando:
 - $A_0(1) = 1 + 1 = 2$
 - $A_1(1) = 2 \cdot 1 + 1 = 3$
 - $A_2(1) = 2^{1+1} \cdot (1 + 1) - 1 = 7$
 - $A_3(1) = A_2^{(2)}(1)$
 - $= A_2^2(A_2(1))$
 - $= A_2^2(7)$
 - $= 2^8 \cdot 8 - 1$
 - $= 2^{11} - 1$
 - $= 2047$

Análise de union by rank com path compression

Ok. Você não entendeu o que esta função faz. . .

Tudo que você precisa saber é que ela cresce **muito** rápido.

$$A_0(1) = 2$$

$$A_1(1) = 3$$

$$A_2(1) = 7$$

$$A_3(1) = 2047$$

$$A_4(1) = 16^{512}$$

Em particular, $A_4(1) = 16^{512} \gg 10^{80}$ que é número estimado de átomos do universo. . .

Análise de union by rank com path compression

Considere agora inversa da função $A_k(n)$ definida como

$$\alpha(n) = \min\{k : A_k(1) \geq n\}.$$

Usando a tabela anterior temos

$$\alpha(n) = \begin{cases} 0 & \text{para } 0 \leq n \leq 2, \\ 1 & \text{para } n = 3, \\ 2 & \text{para } 4 \leq n \leq 7, \\ 3 & \text{para } 8 \leq n \leq 2047, \\ 4 & \text{para } 2048 \leq n \leq A_4(1). \end{cases}$$

Ou seja, para efeitos práticos $\alpha(n) \leq 4$.

Análise de union by rank com path compression

Teorema. Uma seqüência de m operações **MAKE-SET**, **UNION** e **FIND-SET** pode ser executada em uma **ED** para *disjoint-set forests* com **union by rank** e **path compression** em tempo $O(m\alpha(n))$ no pior caso.

Isto significa (na prática) que o **tempo total** é **linear** e que o **custo amortizado por operação** é uma **constante**.

Vamos voltar agora à implementação do algoritmo de Kruskal.

O algoritmo de Kruskal (de novo)

AGM-KRUSKAL(G, w)

```
1   $A \leftarrow \emptyset$ 
2  para cada  $v \in V[G]$  faça
3      MAKE-SET( $v$ )
4  Ordene as arestas em ordem não-decrescente de peso
5  para cada  $(u, v) \in E$  nessa ordem faça
6      se FIND-SET( $u$ )  $\neq$  FIND-SET( $v$ )
7          então  $A \leftarrow A \cup \{(u, v)\}$ 
8              UNION( $u, v$ )
9  devolva  $A$ 
```

Complexidade:

- Ordenação: $O(E \lg E)$
- $|V|$ chamadas a MAKE-SET
- $2|E| + |V| - 1 = O(E)$ chamadas a UNION e FIND-SET

O algoritmo de Kruskal (de novo)

- Ordenação: $O(E \lg E)$
- $|V|$ chamadas a MAKE-SET
- $O(E)$ chamadas a UNION e FIND-SET

Usando a representação *disjoint-set forests* com union by rank e path compression, o tempo gasto com as operações é $O((V + E)\alpha(V)) = O(E\alpha(V))$.

Como $\alpha(V) \leq 4$ o passo que consome mais tempo no algoritmo de Kruskal é a ordenação.

Logo, a complexidade do algoritmo é $O(E \lg E) = O(E \lg V)$.

Algoritmos gulosos – seleção de atividades

Seleção de Atividades

- $S = \{a_1, \dots, a_n\}$: conjunto de n atividades que podem ser executadas em um mesmo local. Exemplo: palestras em um auditório.
- Para todo $i = 1, \dots, n$, a atividade a_i **começa** no instante s_i e **termina** no instante f_i , com $0 \leq s_i < f_i < \infty$.
Ou seja, supõe-se que a atividade a_i será executada no intervalo de tempo (**semi-aberto**) $[s_i, f_i)$.

Definição

As atividades a_i e a_j são ditas **compatíveis** se os intervalos $[s_i, f_i)$ e $[s_j, f_j)$ são disjuntos.

Problema de Seleção de Atividades

Encontre em S um subconjunto de atividades mutuamente compatíveis que tenha tamanho **máximo**.

Seleção de Atividades

- Exemplo:

i	1	2	3	4	5	6	7	8	9	10	11
s_j	1	3	0	4	3	5	6	8	8	2	12
f_j	4	5	6	7	8	9	10	11	12	13	14

- Pares de atividades incompatíveis: (a_1, a_2) , (a_1, a_3)
Pares de atividades compatíveis: (a_1, a_4) , (a_4, a_8)
- Conjunto **maximal** de atividades compatíveis: (a_3, a_9, a_{11}) .
- Conjunto **máximo** de atividades compatíveis:
 (a_1, a_4, a_8, a_{11}) .

As atividades estão ordenadas em ordem crescente de instantes de término! Isso será importante mais adiante.

Seleção de Atividades

Suponha que $f_1 \leq f_2 \leq \dots \leq f_n$, ou seja, as atividades estão ordenadas em ordem crescente de instantes de término.

Definição

Denote $S_{ij} = \{a_k \in S : f_i \leq s_k < f_k \leq s_j\}$, ou seja, S_{ij} é o conjunto de atividades que começam depois do término de a_i e terminam antes do início de a_j .

- **Atividades artificiais:** a_0 com $f_0 = 0$ e a_{n+1} com $s_{n+1} = \infty$
- Tem-se que $S = S_{0,n+1}$ e, com isso, S_{ij} está bem definido para qualquer par (i, j) tal que $0 \leq i, j \leq n + 1$.
- Note que $S_{ij} = \emptyset$ para todo $i \geq j$.

Por quê?

- **Subestrutura ótima:** considere o *subproblema* da seleção de atividades definido sobre S_{ij} . Suponha que a_k pertence a uma solução ótima de S_{ij} .

Como $f_i \leq s_k < f_k \leq s_j$, uma solução ótima para S_{ij} que contenha a_k será composta pelas atividades de uma solução ótima de S_{ik} , pelas atividades de uma solução ótima de S_{kj} e por a_k .

Por quê?

Seleção de Atividades

- **Definição:** para todo $0 \leq i, j \leq n + 1$, seja $c[i, j]$ o **valor ótimo** do problema de seleção de atividades para a instância S_{ij} .
- Deste modo, o valor ótimo do problema de seleção de atividades para instância $S = S_{0, n+1}$ é $c[0, n + 1]$.
- **Fórmula de recorrência:**

$$c[i, j] = \begin{cases} 0 & \text{se } S_{ij} = \emptyset \\ \max_{i < k < j: a_k \in S_{ij}} \{c[i, k] + c[k, j] + 1\} & \text{se } S_{ij} \neq \emptyset \end{cases}$$

Agora é fácil escrever o algoritmo de programação dinâmica. (PD será vista adiante)

Seleção de Atividades

Podemos “converter” o algoritmo de programação dinâmica em um algoritmo guloso se notarmos que o primeiro resolve subproblemas desnecessariamente.

Teorema: (escolha gulosa)

Considere o subproblema definido para uma instância não-vazia S_{ij} , e seja a_m a atividade de S_{ij} com o menor tempo de término, i.e.:

$$f_m = \min\{f_k : a_k \in S_{ij}\}.$$

Então **(a)** existe uma solução ótima para S_{ij} que contém a_m e **(b)** S_{im} é vazio e o subproblema definido para esta instância é trivial, portanto, a escolha de a_m deixa apenas um dos subproblemas com solução possivelmente não-trivial, já que S_{mj} pode não ser vazio.

Seleção de Atividades

- Critérios para seleção de atividades
 - Exemplo: 11 atividades, em 14 unidades de tempo

	0	1	2	3	4	5	6	7	8	9	10	11	12	13	14
1		█	█	█	█										
2				█	█	█									
3	█	█	█	█	█	█	█								
4					█	█	█	█							
5			█	█	█	█	█	█							
6					█	█	█	█	█						
7						█	█	█	█	█					
8									█	█	█	█	█		
9									█	█	█	█	█	█	
10		█	█	█	█	█	█	█	█	█	█	█	█	█	█
11												█	█	█	█

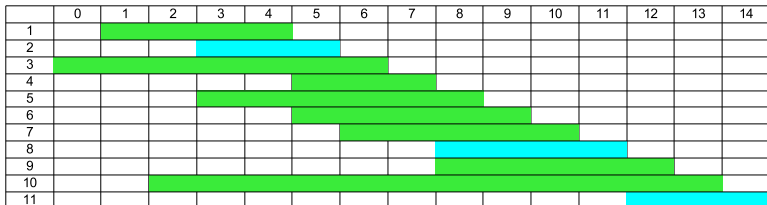
Seleção de Atividades

- **Crerios** para seleção de atividades
 - **Exemplo:** 11 atividades, em 14 unidades de tempo
 - **Tentativa 1** – Escolher primeiro as atividades que **começam primeiro**
 - Não foi o ideal, pois escolheu apenas três atividades: **3, 8 e 11**
(quando poderia ter escolhido quatro: 1, 4, 8 e 11)

	0	1	2	3	4	5	6	7	8	9	10	11	12	13	14
1		█	█	█	█										
2				█	█	█									
3	█	█	█	█	█	█	█								
4					█	█	█	█							
5				█	█	█	█	█							
6						█	█	█	█	█					
7							█	█	█	█	█				
8									█	█	█	█	█		
9										█	█	█	█		
10			█	█	█	█	█	█	█	█	█	█	█	█	
11													█	█	█

Seleção de Atividades

- **Crerios** para seleção de atividades
 - **Exemplo:** 11 atividades, em 14 unidades de tempo
 - **Tentativa 2** – Escolher primeiro as atividades que demoram menos tempo
 - Não foi o ideal, pois escolheu apenas três atividades: 2, 8 e 11



Seleção de Atividades

- **Crítérios** para seleção de atividades
 - **Exemplo:** 11 atividades, em 14 unidades de tempo
 - **Tentativa 3** – Escolher primeiro as atividades que terminam primeiro → **melhor resultado!**
 - Agora escolheu a solução ótima:
1, 4, 8 e 11

	0	1	2	3	4	5	6	7	8	9	10	11	12	13	14
1		■	■	■	■										
2				■	■	■									
3	■	■	■	■	■	■	■								
4					■	■	■	■							
5			■	■	■	■	■	■	■						
6				■	■	■	■	■	■	■					
7						■	■	■	■	■	■				
8									■	■	■	■	■		
9									■	■	■	■	■	■	
10			■	■	■	■	■	■	■	■	■	■	■	■	■
11													■	■	■

Algoritmo :

- Suponha que estamos tentando resolver S_{ij} .
- Determine a atividade a_m com menor tempo de término em S_{ij} .
- Resolva o subproblema S_{mj} e junte a_m à solução obtida na recursão. Devolva este conjunto de atividades.

SelecAtivGulRec(s, f, i, j)

▷ **Entrada:** vetores s e f com instantes de início e término das atividades a_i, a_{i+1}, \dots, a_j , sendo $f_i \leq \dots \leq f_j$.

▷ **Saída:** conjunto de tamanho máximo de índices de atividades mutuamente compatíveis.

1. $m \leftarrow i + 1$;
▷ Busca atividade com menor tempo de término que está em S_{ij}
2. **enquanto** $m < j$ e $s_m < f_j$ **faça** $m \leftarrow m + 1$;
3. **se** $m \geq j$ **então devolva** \emptyset ;
4. **senão**
5. **se** $f_m > s_j$ **então devolva** \emptyset ; ▷ $a_m \notin S_{ij}$
6. **senão devolva** $\{a_m\} \cup \text{SelecAtivGulRec}(s, f, m, j)$.

Seleção de Atividades

- A chamada inicial será $SelecAtivGulRec(s, f, 0, n + 1)$.
- **Complexidade:** $\Theta(n)$.
Ao longo de todas as chamadas recursivas, cada atividade é examinada exatamente uma vez no laço da linha 2. Em particular, a atividade a_k é examinada na última chamada com $i < k$.
- Como o algoritmo anterior é um caso simples de **recursão caudal**, é trivial escrever uma versão iterativa do mesmo.

SelecAtivGullter(s, f, n)

▷ **Entrada:** vetores s e f com instantes de início e término das n atividades com os instantes de término em ordem crescente.

▷ **Saída:** um conjunto A de tamanho máximo contendo atividades mutuamente compatíveis.

1. $A \leftarrow \{a_1\};$
2. $i \leftarrow 1;$
3. **para** $m \leftarrow 2$ **até** n **faça**
4. **se** $s_m \geq f_i$ **então**
5. $A \leftarrow A \cup \{a_m\};$
6. $i \leftarrow m;$
7. **devolva** $A.$

Seleção de Atividades

- Observe que na linha 3, i é o índice da última atividade colocada em A . Como as atividades estão em ordenadas pelo instante de término, tem-se que:

$$f_i = \max\{f_k : a_k \in A\},$$

ou seja, f_i é sempre o maior instante de término de uma atividade em A .

- Pode-se concluir que o algoritmo faz as mesmas escolhas de *SelecAtivGulRec* e portanto, está correto.
- **Complexidade:** $\Theta(n)$.

Algoritmos gulosos – códigos de Huffman

Códigos de Huffman

- **Códigos de Huffman:** técnica de compressão de dados.
- Reduções no tamanho dos arquivos dependem das características dos dados contidos nos mesmos. Valores típicos oscilam entre 20 e 90%.
- **Exemplo:** arquivo texto contendo 100.000 caracteres no alfabeto $\Sigma = \{a, b, c, d, e, f\}$. As freqüências de cada caracter no arquivo são indicadas na tabela abaixo.

	<i>a</i>	<i>b</i>	<i>c</i>	<i>d</i>	<i>e</i>	<i>f</i>
Freqüência (em milhares)	45	13	12	16	9	5
Código de tamanho fixo	000	001	010	011	100	101
Código de tamanho variável	0	101	100	111	1101	1100

- **Codificação do arquivo:** representar cada caracter por uma seqüência de *bits*
- **Alternativas:**
 - 1 seqüências de **tamanho fixo**.
 - 2 seqüências de **tamanho variável**.

Códigos de Huffman

- Qual o tamanho (em *bits*) do arquivo comprimido usando os códigos acima ?
- Códigos de tamanho fixo: $3 \times 100.000 = 300.000$
Códigos de tamanho variável:

$$\underbrace{(45 \times 1)}_a + \underbrace{(13 \times 3)}_b + \underbrace{(12 \times 3)}_c + \underbrace{(16 \times 3)}_d + \underbrace{(9 \times 4)}_e + \underbrace{(5 \times 4)}_f \times 1.000 = 224.000$$

Ganho de $\approx 25\%$ em relação à solução anterior.

Problema da Codificação:

Dadas as freqüências de ocorrência dos caracteres de um arquivo, encontrar as seqüências de *bits* (códigos) para representá-los de modo que o arquivo comprimido tenha tamanho mínimo.

Definição:

Códigos livres de prefixo são aqueles onde, dados dois caracteres quaisquer i e j representados pela codificação, a seqüência de *bits* associada a i **não** é um *prefixo* da seqüência associada a j .

Importante:

Pode-se provar que sempre **existe** uma solução ótima do problema da codificação que é dado por um código *livre de prefixo*.

O **processo de codificação**, i.e, de geração do arquivo comprimido é sempre fácil pois reduz-se a concatenar os códigos dos caracteres presentes no arquivo original em seqüência.

Exemplo: usando a codificação de tamanho variável do exemplo anterior, o arquivo original dado por abc seria codificado por 0101100.

Códigos de Huffman – decodificação

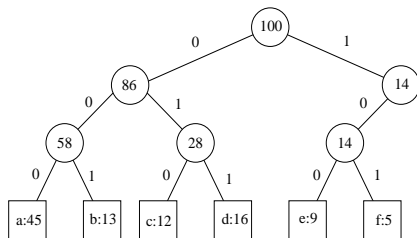
- A vantagem dos códigos livres de prefixo se torna evidente quando vamos decodificar o arquivo comprimido.
- Como nenhum código é prefixo de outro código, o código que se encontra no início do arquivo comprimido não apresenta ambigüidade. Pode-se simplesmente identificar este código inicial, traduzi-lo de volta ao caracter original e repetir o processo no restante do arquivo comprimido.
- **Exemplo:** usando a codificação de tamanho variável do exemplo anterior, o arquivo comprimido contendo os *bits* 001011101 divide-se de **forma unívoca** em 0 0 101 1101, ou seja, corresponde ao arquivo original dado por *aabe*.

- Como representar de maneira conveniente uma codificação livre de prefixo de modo a facilitar o processo de decodificação?
- **Solução:** usar uma árvore binária.
O **filho esquerdo** está associado ao *bit* **ZERO** enquanto o **filho direito** está associado ao *bit* **UM**. Nas **folhas** encontram-se os caracteres presentes no arquivo original.

Códigos de Huffman

Vejam os como ficam as árvores que representam os códigos do exemplo anterior.

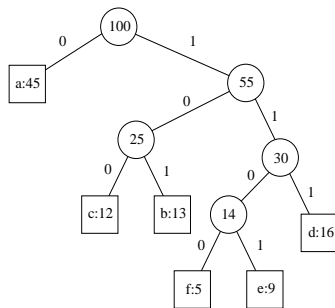
	<i>a</i>	<i>b</i>	<i>c</i>	<i>d</i>	<i>e</i>	<i>f</i>
Freqüência	45	13	12	16	9	5
Código fixo	000	001	010	011	100	101



Códigos de Huffman

Vejam como ficam as árvores que representam os códigos do exemplo anterior.

	<i>a</i>	<i>b</i>	<i>c</i>	<i>d</i>	<i>e</i>	<i>f</i>
Frequência	45	13	12	16	9	5
Código variável	0	101	100	111	1101	1100



- Pode-se mostrar (**Exercício!**) que uma **codificação ótima** sempre pode ser representada por uma árvore binária **cheia**, na qual cada vértice interno tem exatamente **dois** filhos.
- Então podemos restringir nossa atenção às árvores binárias cheias com $|C|$ folhas e $|C| - 1$ vértices internos (**Exercício!**), onde C é o conjunto de caracteres do alfabeto no qual está escrito o arquivo original.

Computando o tamanho do arquivo comprimido:

Se T é a árvore que representa a codificação, $d_T(c)$ é a profundidade da folha representado o caracter c e $f(c)$ é a sua freqüência, o tamanho do arquivo comprimido será dado por:

$$B(T) = \sum_{c \in C} f(c) d_T(c).$$

Dizemos que $B(T)$ é o **custo** da árvore T .

Isto é exatamente o tamanho do arquivo codificado.

Códigos de Huffman

- **Idéia do algoritmo de Huffman:** Começar com $|C|$ folhas e realizar sequencialmente $|C| - 1$ operações de “intercalação” de dois vértices da árvore. Cada uma destas intercalações dá origem a um novo vértice interno, que será o pai dos vértices que participaram da intercalação.
- A escolha do par de vértices que dará origem a intercalação em cada passo depende da soma das freqüências das folhas das subárvores com raízes nos vértices que ainda não participaram de intercalações.

Algoritmo de Huffman

Huffman(C)

▷ **Entrada:** Conjunto de caracteres C e as freqüências f dos caracteres em C .

▷ **Saída:** raiz de uma árvore binária representando uma codificação ótima livre de prefixos.

1. $n \leftarrow |C|;$

▷ Q é fila de prioridades dada pelas freqüências dos vértices ainda não intercalados

2. $Q \leftarrow C;$

3. **para** $i \leftarrow 1$ **até** $n - 1$ **faça**

4. **alocar novo registro** $z;$ ▷ vértice de T

5. $z.esq \leftarrow x \leftarrow \text{EXTRAI_MIN}(Q);$

6. $z.dir \leftarrow y \leftarrow \text{EXTRAI_MIN}(Q);$

7. $z.f \leftarrow x.f + y.f;$

8. $\text{INSERE}(Q, z);$

9. **retorne** $\text{EXTRAI_MIN}(Q).$

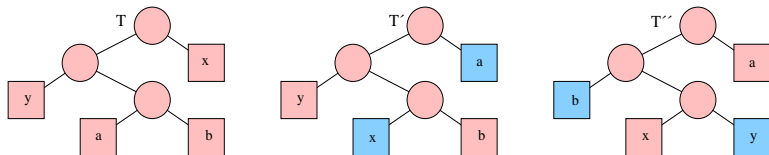
Lema 1: (escolha gulosa)

Seja C um alfabeto onde cada caracter $c \in C$ tem freqüência $f[c]$. Sejam x e y dois caracteres em C com as **menores** freqüências. Então, existe **um** código ótimo livre de prefixo para C no qual os códigos para x e y tem o mesmo comprimento e diferem apenas no último bit.

Prova do Lema 1:

- Seja T uma árvore **ótima**.
- Sejam a e b duas folhas “irmãs” (i.e. usadas em uma intercalação) **mais profundas** de T e x e y as folhas de T de **menor freqüência**.
- **Idéia:** a partir de T , obter uma outra árvore **ótima** T' com x e y sendo duas folhas “irmãs”.

Corretude do algoritmo de Huffman



$$\begin{aligned} B(T) - B(T') &= \sum_{c \in C} f(c)d_T(c) - \sum_{c \in C} f(c)d_{T'}(c) \\ &= f[x]d_T(x) + f[a]d_T(a) - f[x]d_{T'}(x) - f[a]d_{T'}(a) \\ &= f[x]d_T(x) + f[a]d_T(a) - f[x]d_T(a) - f[a]d_T(x) \\ &= (f[a] - f[x])(d_T(a) - d_T(x)) \geq 0 \end{aligned}$$

Assim, $B(T) \geq B(T')$.

Analogamente $B(T') \geq B(T'')$.

Como T é ótima, T'' é ótima e o resultado vale. \square

Lema 2: (subestrutura ótima)

Seja C um alfabeto com freqüência $f[c]$ definida para cada caracter $c \in C$. Sejam x e y dois caracteres de C com as menores freqüências. Seja C' o alfabeto obtido pela remoção de x e y e pela inclusão de um **novo** caracter z , ou seja, $C' = C \cup \{z\} - \{x, y\}$. As freqüências dos caracteres em $C' \cap C$ são as mesmas que em C e $f[z]$ é definida como sendo $f[z] = f[x] + f[y]$.

Seja T' uma árvore binária representado um código ótimo livre de prefixo para C' . Então a árvore binária T obtida de T' substituindo-se o vértice (folha) z pela por um vértice interno tendo x e y como filhos, representa uma código ótimo livre de prefixo para C .

Teorema:

O algoritmo de Huffman constrói um código ótimo (livre de prefixo).

Segue imediatamente dos Lemas 1 e 2.

Algoritmos gulosos – caminho mínimo

Problema do(s) Caminho(s) Mínimo(s)

Seja G um grafo **orientado** e suponha que para cada aresta (u, v) associamos um **peso** (custo, distância) $w(u, v)$. Usaremos a notação (G, w) .

- **Problema do Caminho Mínimo entre Dois Vértices:**

Dados dois vértices s e t em (G, w) , encontrar um caminho (de peso) mínimo de s a t .

- Aparentemente, este problema não é mais fácil do que o

Problema dos Caminhos Mínimos com Mesma Origem:

Dados (G, w) e $s \in V[G]$, encontrar para cada vértice v de G , um caminho mínimo de s a v .

Subestrutura ótima de caminhos mínimos

Teorema. Seja (G, w) um grafo orientado e seja

$$P = (v_1, v_2, \dots, v_k)$$

um **caminho mínimo** de v_1 a v_k .

Então para quaisquer i, j com $1 \leq i \leq j \leq k$

$$P_{ij} = (v_i, v_{i+1}, \dots, v_j)$$

é um **caminho mínimo** de v_i a v_j .

Representação de caminhos mínimos

- Usamos uma idéia similar à usada em Busca em Largura nos algoritmos de caminhos mínimos que veremos.
- Para cada vértice $v \in V[G]$ associamos um predecessor $\pi[v]$.
- Ao final do algoritmo obtemos uma **Árvore de Caminhos Mínimos** com raiz s .
- Um caminho de s a v nesta árvore é um caminho mínimo de s a v em (G, w) .

Estimativa de distâncias

- Para cada $v \in V[G]$ queremos determinar $dist(s, v)$, o peso de um caminho mínimo de s a v em (G, w) (**distância** de s a v .)
- Os algoritmos de caminhos mínimos associam a cada $v \in V[G]$ um valor $d[v]$ que é uma **estimativa da distância** $dist(s, v)$.

INITIALIZE-SINGLE-SOURCE(G, s)

- 1 **para cada** vértice $v \in V[G]$ **faça**
- 2 $d[v] \leftarrow \infty$
- 3 $\pi[v] \leftarrow \text{NIL}$
- 4 $d[s] \leftarrow 0$

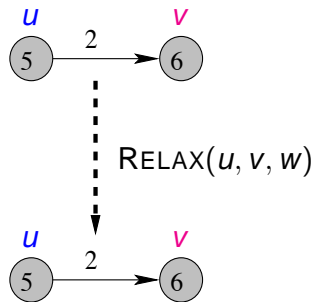
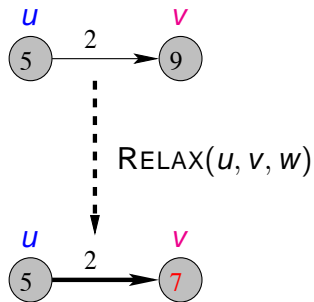
O valor $d[v]$ é uma **estimativa superior** para o peso de um caminho mínimo de s a v .

Ele indica que o algoritmo encontrou até aquele momento um caminho de s a v com peso $d[v]$.

O caminho pode ser recuperado por meio dos predecessores $\pi[\]$.

Relaxação

Tenta melhorar a estimativa $d[v]$ examinando (u, v) .

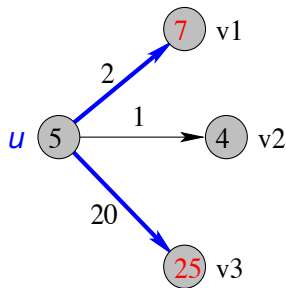
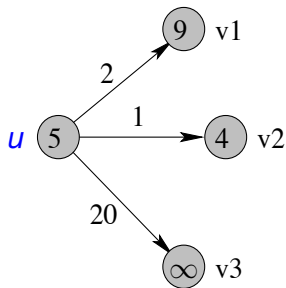


$\text{RELAX}(u, v, w)$

- 1 **se** $d[v] > d[u] + w(u, v)$
- 2 **então** $d[v] \leftarrow d[u] + w(u, v)$
- 3 $\pi[v] \leftarrow u$

Relaxação dos vizinhos

Em cada iteração o algoritmo seleciona um vértice u e para cada vizinho v de u aplica $\text{RELAX}(u, v, w)$.



$\text{RELAX}(u, v, w)$

- 1 se $d[v] > d[u] + w(u, v)$ faça
- 2 $d[v] \leftarrow d[u] + w(u, v)$
- 3 $\pi[v] \leftarrow u$

Veremos três algoritmos baseados em **relaxação** para tipos de instâncias diferentes de Problemas de Caminhos Mínimos.

- G é acíclico: aplicação de ordenação topológica
- (G, w) não tem arestas de peso negativo: algoritmo de Dijkstra
- (G, w) tem arestas de peso negativo, mas não contém ciclos negativos: algoritmo de Bellman-Ford.

Caminhos mínimos em grafos acíclicos

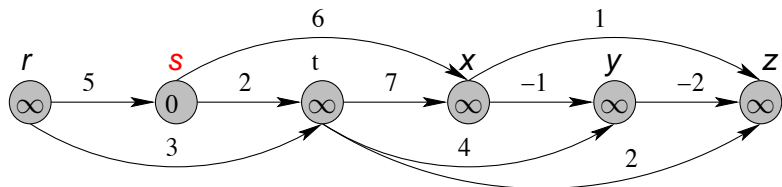
Entrada: grafo orientado acíclico $G = (V, E)$ com função peso w nas arestas e uma origem s .

Saída: vetor $d[v] = dist(s, v)$ para $v \in V$
e uma **Árvore de Caminhos Mínimos** definida por $\pi[]$.

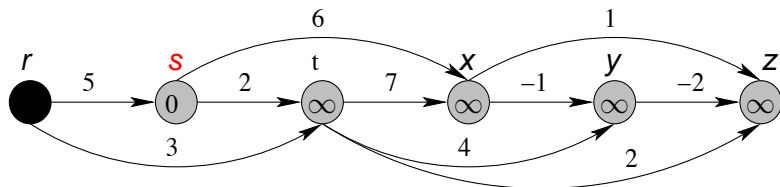
DAG-SHORTEST-PATHS(G, w, s)

- 1 Ordene topologicamente os vértices de G
- 2 **INITIALIZE-SINGLE-SOURCE**(G, s)
- 3 **para cada** vértice u na ordem topológica **faça**
- 4 **para cada** $v \in Adj[u]$ **faça**
- 5 **RELAX**(u, v, w)

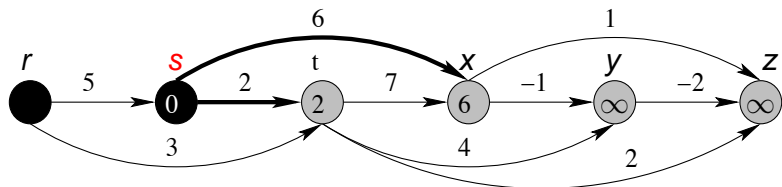
Exemplo



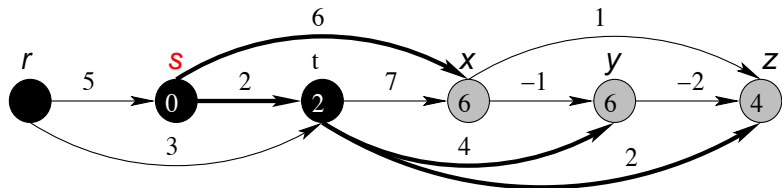
Exemplo



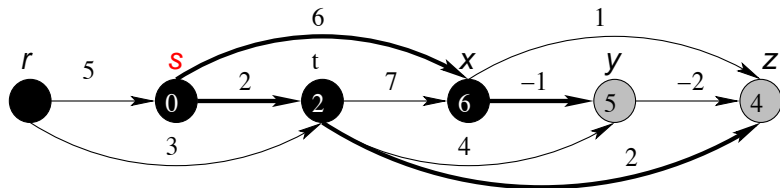
Exemplo



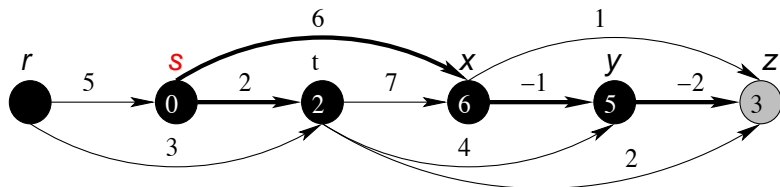
Exemplo



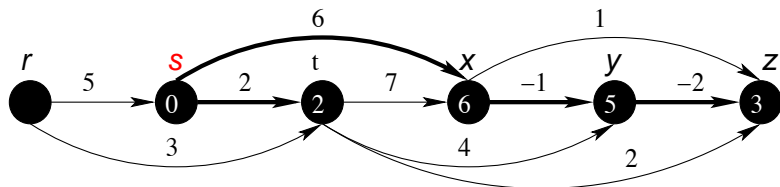
Exemplo



Exemplo



Exemplo



DAG-SHORTEST-PATHS(G, w, s)

- 1 Ordene topologicamente os vértices de G
- 2 **INITIALIZE-SINGLE-SOURCE**(G, s)
- 3 **para cada** vértice u na ordem topológica **faça**
- 4 **para cada** $v \in \text{Adj}[u]$ **faça**
- 5 **RELAX**(u, v, w)

Linha(s)	Tempo total
1	$O(V + E)$
2	$O(V)$
3-5	$O(V + E)$

Complexidade de **DAG-SHORTEST-PATHS**: $O(V + E)$

Algoritmo de Dijkstra

O algoritmo de Dijkstra recebe um grafo orientado (G, w) (sem arestas de peso negativo) e um vértice s de G

e devolve

- para cada $v \in V[G]$, o **peso de um caminho mínimo** de s a v
- e uma **Árvore de Caminhos Mínimos** com raiz s .
Um caminho de s a v nesta árvore é um caminho mínimo de s a v em (G, w) .

Algoritmo de Dijkstra

DIJKSTRA(G, w, s)

1 INITIALIZE-SINGLE-SOURCE(G, s)

2 $S \leftarrow \emptyset$

3 $Q \leftarrow V[G]$

4 enquanto $Q \neq \emptyset$ faça

5 $u \leftarrow \text{EXTRACT-MIN}(Q)$

6 $S \leftarrow S \cup \{u\}$

7 para cada vértice $v \in \text{Adj}[u]$ faça

8 RELAX(u, v, w)

O conjunto Q é implementado como uma fila de prioridade.

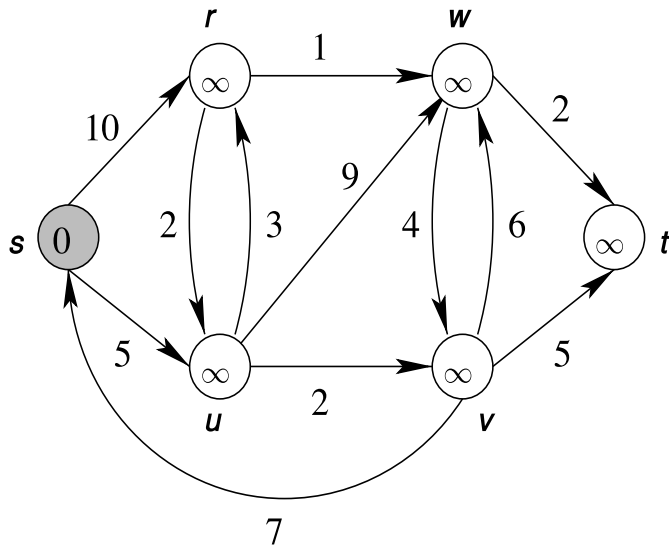
O conjunto S não é realmente necessário, mas simplifica a análise do algoritmo.

Intuição do algoritmo

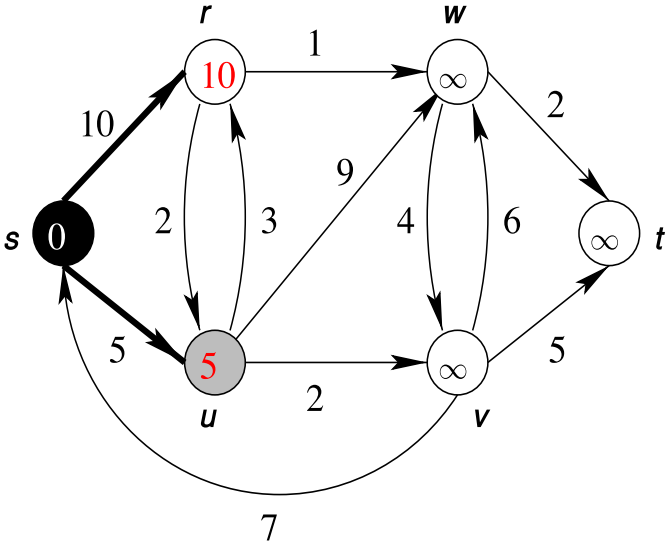
Em cada iteração, o algoritmo de **DIJKSTRA**

- escolhe um vértice u fora do conjunto S que esteja **mais próximo** a esse e acrescenta-o a S ,
- atualiza as distâncias estimadas dos vizinhos de u e
- atualiza a **Árvore dos Caminhos Mínimos**.

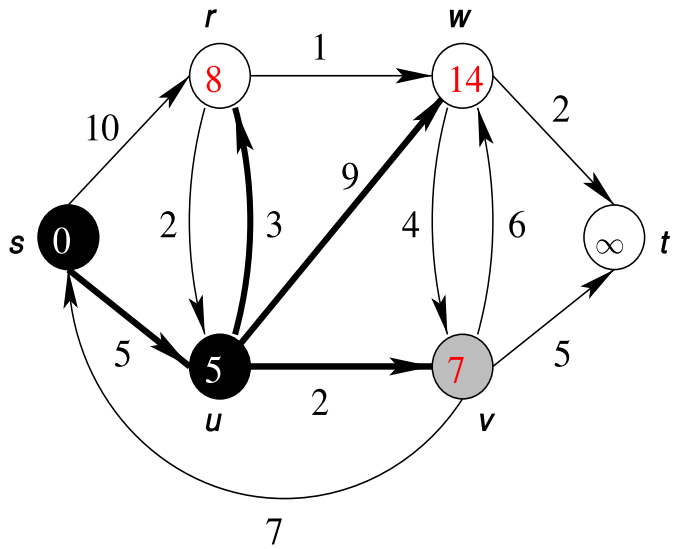
Exemplo (CLRS modificado)



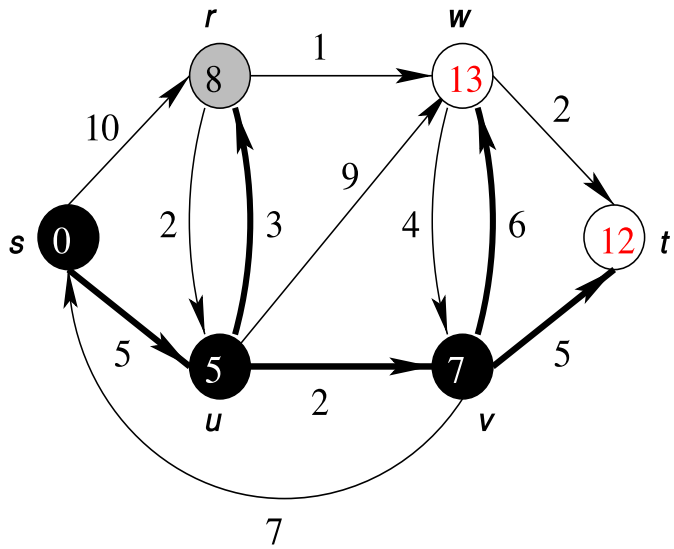
Exemplo (CLRS modificado)



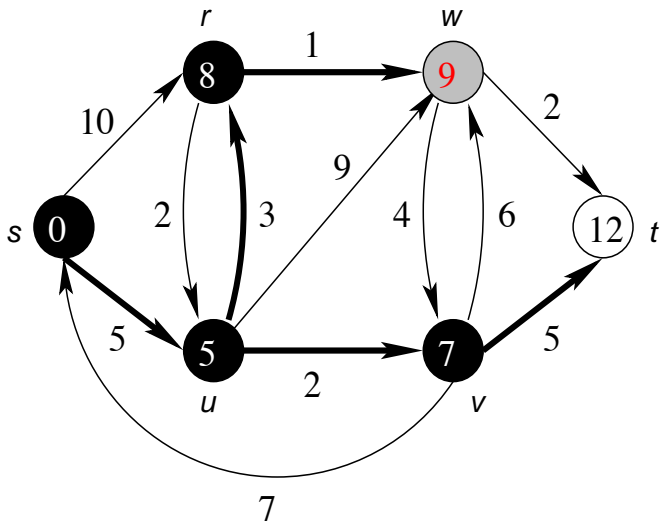
Exemplo (CLRS modificado)



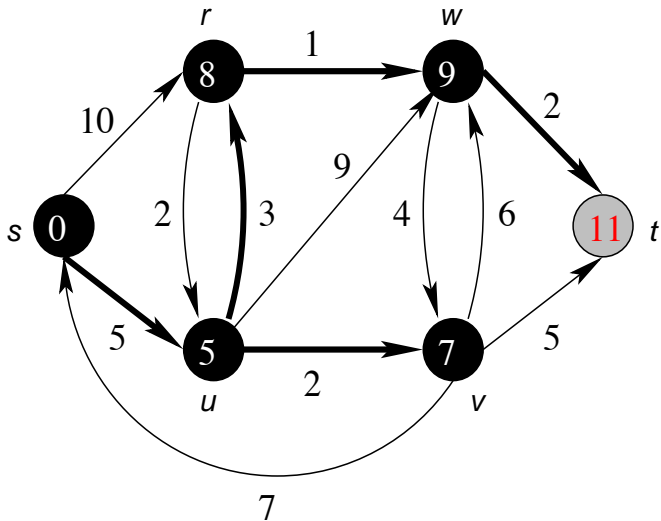
Exemplo (CLRS modificado)



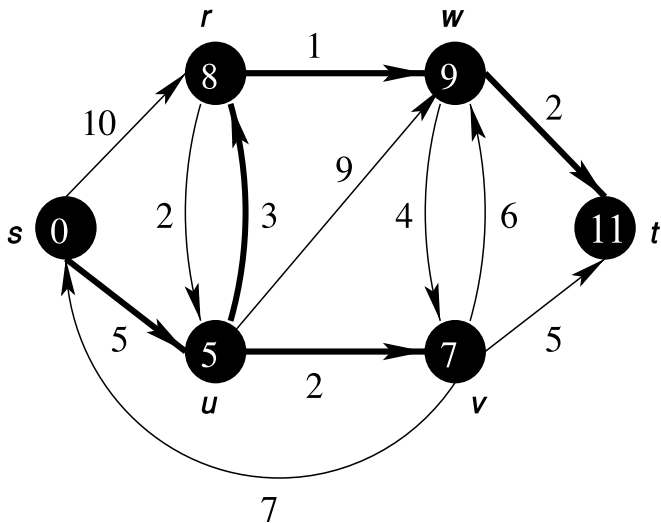
Exemplo (CLRS modificado)



Exemplo (CLRS modificado)



Exemplo (CLRS modificado)



Complexidade de tempo

DIJKSTRA(G, w, s)

```
1  INITIALIZE-SINGLE-SOURCE( $G, s$ )
2   $S \leftarrow \emptyset$ 
3   $Q \leftarrow V[G]$ 
4  enquanto  $Q \neq \emptyset$  faça
5       $u \leftarrow \text{EXTRACT-MIN}(Q)$ 
6       $S \leftarrow S \cup \{u\}$ 
7      para cada vértice  $v \in \text{Adj}[u]$  faça
8          RELAX( $u, v, w$ )
```

Depende de como a fila de prioridade Q é implementada.

Complexidade de tempo

A fila de prioridade Q é mantida com as seguintes operações:

- **INSERT** (implícito na linha 3)
- **EXTRACT-MIN** (linha 5) e
- **DECREASE-KEY** (implícito em **RELAX** na linha 8).

São executados (no máximo) $|V|$ operações **EXTRACT-MIN**.

Cada vértice $u \in V[G]$ é inserido em S (no máximo) uma vez e cada aresta (u, v) com $v \in \text{Adj}[u]$ é examinada (no máximo) uma vez nas linhas 7-8 durante todo o algoritmo. Assim, são executados no máximo $|E|$ operações **DECREASE-KEY**.

Complexidade de tempo

No total temos $|V|$ chamadas a **EXTRACT-MIN** e $|E|$ chamadas a **DECREASE-KEY**.

- Implementando Q como um vetor (coloque $d[v]$ na posição v do vetor), **INSERT** e **DECREASE-KEY** gastam tempo $\Theta(1)$ e **EXTRACT-MIN** gasta tempo $O(V)$, resultando em um total de $O(V^2 + E) = O(V^2)$.
- Implementando a fila de prioridade Q como um min-heap, **INSERT**, **EXTRACT-MIN** e **DECREASE-KEY** gastam tempo $O(\lg V)$, resultando em um total de $O(V + E) \lg V$.
- Usando **heaps de Fibonacci** (**EXTRACT-MIN** é $O(\lg V)$ e **DECREASE-KEY** é $O(1)$) a complexidade reduz para $O(V \lg V + E)$.

Arestas/ciclos de peso negativo

- O algoritmo de Dijkstra resolve o Problema dos Caminhos Mínimos quando (G, w) não possui arestas de peso negativo.
- Quando (G, w) possui arestas negativas, o algoritmo de Dijkstra não funciona (Exercício).
- Uma das dificuldades com arestas negativas é a possível existência de ciclos de peso negativo ou simplesmente ciclos negativos.

Ciclos negativos — uma dificuldade

- Se um ciclo negativo C é atingível a partir da fonte s , em princípio o problema não tem solução pois o “caminho” pode passar ao longo do ciclo infinitas vezes obtendo caminhos cada vez menores.
- Naturalmente, podemos impor a restrição de que os caminhos tem que ser **simples**, sem repetição de vértices. Entretanto, esta versão do problema é **NP-difícil**.
- Assim, vamos nos restringir ao Problema de Caminhos Mínimos **sem ciclos negativos**.

O algoritmo de Bellman-Ford

O algoritmo de Bellman-Ford recebe um grafo orientado (G, w) (possivelmente com arestas de peso negativo) e um vértice origem s de G

Ele devolve um valor booleano

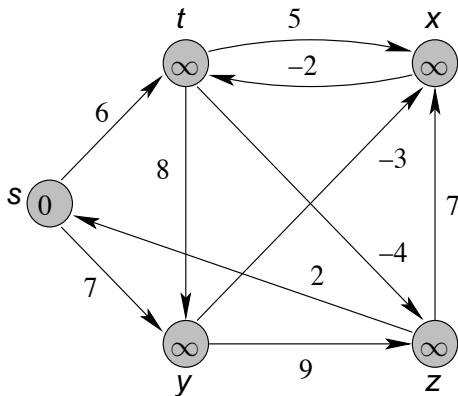
- FALSE se existe um ciclo negativo atingível a partir de s , ou
- TRUE e neste caso devolve também uma **Árvore de Caminhos Mínimos** com raiz s .

O algoritmo de Bellman-Ford

```
BELLMAN-FORD( $G, w, s$ )
1  INITIALIZE-SINGLE-SOURCE( $G, s$ )
2  para  $i \leftarrow 1$  até  $|V[G]| - 1$  faça
3      para cada aresta  $(u, v) \in E[G]$  faça
4          RELAX( $u, v, w$ )
5  para cada aresta  $(u, v) \in E[G]$  faça
6      se  $d[v] > d[u] + w(u, v)$ 
7          então devolva FALSE
8  devolva TRUE
```

Complexidade de tempo: $O(VE)$

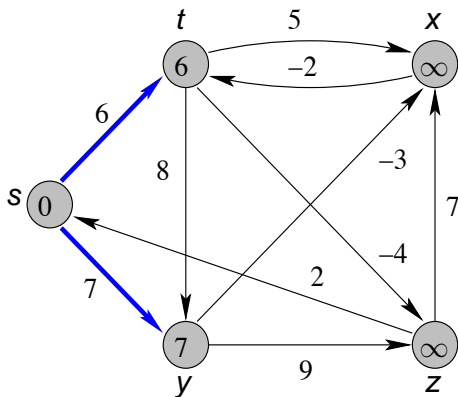
Exemplo (CLRS)



Ordem:

$(t, x), (t, y), (t, z), (x, t), (y, x), (y, z), (z, x), (z, s), (s, t), (s, y)$.

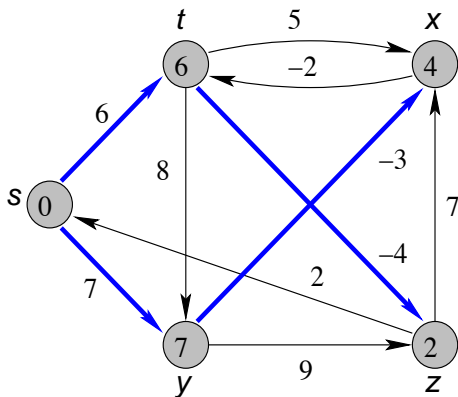
Exemplo (CLRS)



Ordem:

$(t, x), (t, y), (t, z), (x, t), (y, x), (y, z), (z, x), (z, s), (s, t), (s, y)$.

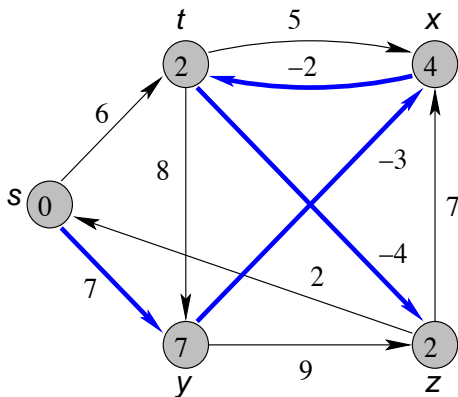
Exemplo (CLRS)



Ordem:

$(t, x), (t, y), (t, z), (x, t), (y, x), (y, z), (z, x), (z, s), (s, t), (s, y)$.

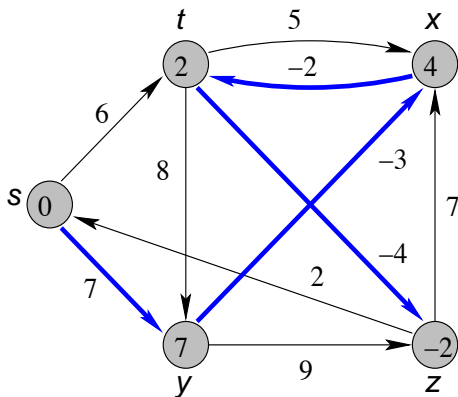
Exemplo (CLRS)



Ordem:

$(t, x), (t, y), (t, z), (x, t), (y, x), (y, z), (z, x), (z, s), (s, t), (s, y)$.

Exemplo (CLRS)



Ordem:

$(t, x), (t, y), (t, z), (x, t), (y, x), (y, z), (z, x), (z, s), (s, t), (s, y)$.

Caminhos mínimos entre todos os pares

O problema agora é dado um grafo (G, w) encontrar para todo para u, v de vértices um caminho mínimo de u a v .

Obviamente podemos executar $|V|$ vezes um algoritmo de Caminhos Mínimos com Mesma Origem.

- Se (G, w) não possui arestas negativas podemos usar o algoritmo de Dijkstra implementando a fila de prioridade como

um vetor: $|V|.O(V^2 + E) = O(V^3 + VE)$ ou

min-heap binário: $|V|.O(E \lg V) = O(VE \lg V)$ ou

heap de Fibonacci: $|V|.O(V \lg V + E) = O(V^2 \lg V + VE)$.

- Se (G, w) possui arestas negativas podemos usar o algoritmo de Bellman-Ford: $|V|.O(VE) = O(V^2E)$.

O algoritmo de Floyd-Warshall

Veremos agora um método direto para resolver o problema que é assintoticamente melhor se G é denso.

O algoritmo de Floyd-Warshall baseia-se em programação dinâmica e resolve o problema em tempo $O(V^3)$.

O grafo (G, w) pode ter arestas negativas, mas suporemos que **não** contém ciclos negativos.

Vamos adotar a convenção de que (i, j) não é uma aresta de G então $w(i, j) = \infty$.

Estrutura de um caminho mínimo

Seja $P = (v_1, v_2, \dots, v_k)$ um caminho (simples).

Um vértice **intermediário** de P é qualquer vértice de P distinto de v_1 e v_k , ou seja, em $\{v_2, \dots, v_{k-1}\}$.

Para simplificar, suponha que $V = \{1, 2, \dots, n\}$.

Estrutura de um caminho mínimo

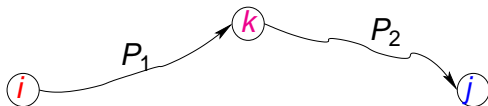
Sejam i e j dois vértices de G . Considere todos os caminhos cujos **vértices intermediários** pertencem a $\{1, \dots, k\}$. Seja P um caminho mínimo entre todos eles.

O algoritmo de Floyd-Warshall explora a relação entre P e um caminho mínimo de i a j com vértices intermediários em $\{1, \dots, k - 1\}$.

Se k não é um vértice intermediário de P então P é um caminho mínimo de i a j com vértices intermediários em $\{1, \dots, k - 1\}$.

Estrutura de um caminho mínimo

- Se k é um vértice intermediário de P então P pode ser dividido em dois caminhos P_1 (com início em i e fim em k) e P_2 (com início em k e fim em j).



- P_1 é um caminho mínimo de i a k com vértices intermediários em $\{1, \dots, k-1\}$
- P_2 é um caminho mínimo de k a j com vértices intermediários em $\{1, \dots, k-1\}$.

Recorrência para caminhos mínimos

Seja $d_{ij}^{(k)}$ o peso de um caminho mínimo de i a j com vértices intermediários em $\{1, 2, \dots, k\}$.

Quando $k = 0$ então $d_{ij}^{(0)} = w(i, j)$.

Temos a seguinte recorrência:

$$d_{ij}^{(k)} = \begin{cases} w(i, j) & \text{se } k = 0, \\ \min(d_{ij}^{(k-1)}, d_{ik}^{(k-1)} + d_{kj}^{(k-1)}) & \text{se } k \geq 1. \end{cases}$$

Assim, queremos calcular a matrix $D^{(n)} = (d_{ij}^{(n)})$ com $d_{ij}^{(n)} = \text{dist}(i, j)$.

Algoritmo de Floyd-Warshall

A entrada do algoritmo é a matriz $W = (w(i, j))$ com $n = |V|$ linhas e colunas.

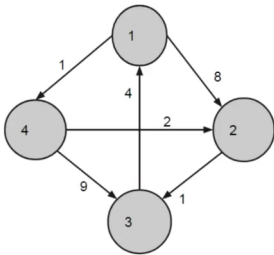
A saída é a matriz $D^{(n)}$.

FLOYD-WARSHALL(W)

```
1   $D^{(0)} \leftarrow W$ 
2  para  $k \leftarrow 1$  até  $n$  faça
3      para  $i \leftarrow 1$  até  $n$  faça
4          para  $j \leftarrow 1$  até  $n$  faça
5               $d_{ij}^{(k)} \leftarrow \min(d_{ij}^{(k-1)}, d_{ik}^{(k-1)} + d_{kj}^{(k-1)})$ 
6  devolva  $D^{(n)}$ 
```

Complexidade: $O(V^3)$

Algoritmo de Floyd-Warshall – exemplo

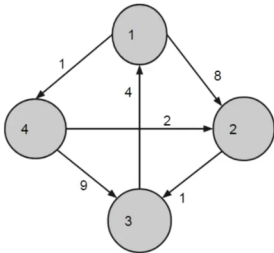


K = 0

	1	2	3	4
1	0	8	inf	1
2	inf	0	1	inf
3	4	inf	0	inf
4	inf	2	9	0

K = 1

	1	2	3	4
1	0	8	inf	1
2	inf	0	1	inf
3	4	inf	0	inf
4	inf	2	9	0



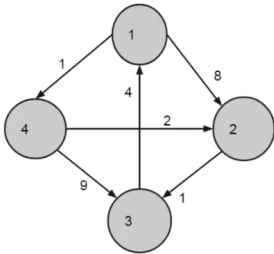
K = 2

	1	2	3	4
1	0	8	inf	1
2	inf	0	1	inf
3	4	12	0	5
4	inf	2	9	0

K = 3

	1	2	3	4
1	0	8	9	1
2	inf	0	1	inf
3	4	12	0	5
4	inf	2	3	0

Algoritmo de Floyd-Warshall – exemplo



K = 4

	1	2	3	4
1	0	8	9	1
2	5	0	1	6
3	4	12	0	5
4	7	2	3	0

	1	2	3	4
1	0	3	4	1
2	5	0	1	6
3	4	7	0	5
4	7	2	3	0

Como encontrar os caminhos?

O algoritmo precisa devolver também uma matriz $\Pi = (\pi_{ij})$ tal que $\pi_{ij} = \text{NIL}$ se $i = j$ ou se não existe caminho de i a j , e caso contrário, π_{ij} é o **predecessor** de j em algum caminho mínimo a partir de i .

Podemos computar os predecessores ao mesmo tempo que o algoritmo calcula as matrizes $D^{(k)}$. Determinamos uma seqüência de matrizes $\Pi^{(0)}, \Pi^{(1)}, \dots, \Pi^{(n)}$ e $\pi_{ij}^{(k)}$ é o predecessor de j em um caminho mínimo a partir de i com vértices intermediários em $\{1, 2, \dots, k\}$.

Quando $k = 0$ temos

$$\pi_{ij}^{(0)} = \begin{cases} \text{NIL} & \text{se } i = j \text{ ou } w(i, j) = \infty, \\ i & \text{se } i \neq j \text{ e } w(i, j) < \infty. \end{cases}$$

Como encontrar os caminhos?

Para $k \geq 1$ procedemos da seguinte forma. Considere um caminho mínimo P de i a j .

Se k não aparece em P então tomamos como predecessor de j o predecessor de j em um caminho mínimo de i a j com vértices intermediários em $\{1, 2, \dots, k-1\}$.

Caso contrário, tomamos como predecessor de j o predecessor de j em um caminho mínimo de k a j com vértices intermediários em $\{1, 2, \dots, k-1\}$.

Formalmente,

$$\pi_{ij}^{(k)} = \begin{cases} \pi_{ij}^{(k-1)} & \text{se } d_{ij}^{(k-1)} \leq d_{ik}^{(k-1)} + d_{kj}^{(k-1)}, \\ \pi_{kj}^{(k-1)} & \text{se } d_{ij}^{(k-1)} > d_{ik}^{(k-1)} + d_{kj}^{(k-1)}. \end{cases}$$

Exercício. Incorpore esta parte no algoritmo!

Passos do projeto de algoritmos gulosos: resumo

- 1 Formule o problema como um **problema de otimização** no qual uma escolha é feita, restando-nos então resolver um único subproblema a resolver.
- 2 Provar que existe sempre uma solução ótima do problema que atende à **escolha gulosa**, ou seja, a escolha feita pelo algoritmo guloso é segura.
- 3 Demonstrar que, uma vez feita a escolha gulosa, o que resta a resolver é um subproblema tal que se combinarmos a resposta ótima deste subproblema com o(s) elemento(s) da escolha gulosa, chega-se à solução ótima do problema original.

Esta é a parte que requer mais engenhosidade!

Normalmente a prova começa com uma solução ótima *genérica* e a modificamos até que ela inclua o(s) elemento(s) identificados pela escolha gulosa.